

## استنباط معادلة لتقدير التصريف الحقيقي للقنوات حصوية القعر والحاملة للرسوبات

د. عيد الصلبر إبراهيم بكر  
استاذ مساعد  
قسم هندسة الري والبيزل

نس محمود محمد رشيد  
مدرس مساعد  
مركز بحوث المتدود والموارد المائية

### الخلاصة

تم في هذا البحث دراسة تأثير الرسوبات في خشونة القنوات الحصوية للقعر حيث تم اجراء التجارب في قناة مختبرية مستطيلة الشكل بطول (10 م) وعرض (0.3 م) وصق (0.45 م) تم استخدام ثلاثة انواع من مادة القعر الحصوية وياقتار تتراوح بين (0.02-0.03 م) و (0.03-0.04 م) و (0.04-0.05 م) . ودراسة تأثير الرسوبات تم استخدام ثلاثة نماذج من الرمل ، الأول بمعدل قطر (0.36 ملم) وانحراف معياري (0.243) والثاني بمعدل قطر (0.4 ملم) وانحراف معياري (0.267) والثالث بمعدل قطر (0.67 ملم) وانحراف معياري (0.32). ودراسة لتأثير الميل والتصريف فقد تم استخدام أربعة تصاريح هي (0.012 ، 0.0141 ، 0.0161 ، 0.018) م<sup>3</sup> ثا واربعه ميول هي (0.0075 ، 0.01 ، 0.0125 ، 0.015).

وتبين من ملاحظة نتائج هذا البحث حصول نقصان في مقاومة الجريان نتيجة تعرض القناة الى تأثير الرسوبات ، حيث تماثل الرسوبات الفراغات المحصورة بين حبيبات مادة القعر بصورة تدريجية مسببة تناقصا في معامل خشونة القعر الى الحد الذي تماثل فيه الرسوبات كافة الفراغات المحصورة بين حبيبات مادة القعر ، وقد بلغ اعلى تغير في نسبة معامل مانتيك (n/n<sub>0</sub>) 0.64 عند تحول القعر من القعر الحصوي الى القعر الرمل ، ووجد بأنه من الضروري ايجاد معامل تصحيح لاستخدام العلاقة بين التصريف والتمسوب (Stage-Discharge) في حالة تعرض القناة الى كميات كبيرة من الرسوبات .

وتم في هذا البحث استنباط معادلة وضعية لتقدير معامل مانتيك والتصريف الحقيقي بعد تعرض القناة الى تأثير الرسوبات ، وقد اعطت هذه المعادلة تطبقاً جيداً مع القيم المقاسة بحيث لم تتجاوز نسبة الخطأ في تقدير معامل مانتيك عن (±7.3%).

### مقدمة

ان معظم العلاقات والمعادلات المستخدمة في حساب التصريف تحتاج الى تخمين القيمة الحقيقية لمعاملات الخشونة (Roughness Coefficients) ، مثل معامل مانتيك ومعامل جوزي ومعامل دارسي وغيرها. لذلك بات من الضروري دراسة كافة العوامل المؤثرة على هذه المعاملات .

تناول عدد من الباحثين دراسة قسم من العوامل المؤثرة على معامل الخشونة مثل تسوع مادة القعر والميل والتصريف وغيرها ، ولكن دراسة تأثير الرسوبات على مقاومة الجريان في القنوات ذات الخشونة العالية والحصوية القعر لم تأخذ حيزاً كبيراً من الاهتمام من قبل الباحثين، فقد لوحظ انه عند حدوث عاصفة مطرية تجرف كميات كبيرة من المواد الرملية

والطينية من حوض التفتية (Watershed) الى مجرى القنوات في المنطقة التي فيها تلك القنوات بطور جمودي او حصوي وتعمل الرسوبات المنجرفة على ملئ الفراغات الموجودة بين قطع الجمود فسي للقعر ويتحول القعر اخيراً الى قعر رمل وتنتج لذلك بتغير معامل الخشونة بمقدار كبير . ولذلك فان العلاقة بين التصريف والتمسوب تصبح غير صحيحة عند تحويل القعر من قعر حصوي الى قعر رمل ، وبالتالي فان التصريف الذي تم الحصول عليه باستخدام العلاقة العادية للسكر يكون خاطئاً . وبكي، يمكن من استخدام العلاقة بين التصريف والتمسوب في الأنهار التي تحتوي على كميات كبيرة من الحمى والمصفر بصورة صحيحة ، يكون من الضروري ليجاد معامل تصحيح

وعمق 0.4 م وتحسنت تصريف مقبضه  
 (0.0426 م<sup>3</sup> ثا<sup>-1</sup>) وميل مقداره (0.015) وباستخدام  
 رسابيات بمعدل قطر (0.32 ملم).

وقد لاحظ الباحثان ان زيادة تركيز الرسابيات  
 تؤدي الى زيادة عمق الرسابيات حتى الوصول الى  
 تركيز الرسابيات الذي يغير حالة انقعر من قعر حصوي  
 الى قعر رملي ، ونتيجة لذلك انخفض عمق الجريان من  
 (0.278م) الى بداية التجربة الى (0.157م) عند تكون  
 القعر الرملي ، وانخفض معامل مانك من (0.39) في  
 بداية التجربة الى (0.19) عند تحويل القعر الى قعر  
 رملي فتوصل الباحثان الى العلاقات الآتية:

$$\begin{aligned} ns &= 0.487 ng & \dots\dots\dots 2 \\ ds &= 0.56 dg & \dots\dots\dots 3 \end{aligned}$$

الباحث هويت [3] قام بساجراء عدة تجارب  
 مختبرية باستخدام ثلاثة نماذج من مادة القعر  
 تتراوح ما بين (0.04-0.05)م و (0.08-0.09)م  
 و(0.12-0.15)م في قناة مختبرية مستطيلة المقطع  
 بعرض (0.25م) وعمق (0.4م) وطول (10م) وتحسنت  
 تصريف مقداره (0.0426 م<sup>3</sup> ثا<sup>-1</sup>) ، وقد تم اختبار  
 التصريف على ضوء المحندات التي وردت في بحست  
 الشيخ علي وبكر [2] وتم استخدام ثلاثة أنواع من  
 الرسابيات بمعدل قطر  $D_{50}$  (0.34 ، 0.53 ، 0.75 )  
 ملم على التوالي وميل مقداره (0.015) . وتم تغذية  
 القناة بمعدل تغذية مقداره (30 لغم/ثا) ثم بزيادة منتظمة  
 مقدارها (30 لغم/ثا) بين تجربة والتجربة التي تليها  
 حتى للوصول الى المعدل الذي يغير حالة القعر الى قعر  
 رملي . وقد وجد الباحث ان زيادة قطر الرسابيات  
 النسبي (Relative Sediment Size) (وهو النسبة  
 بين معدل قطر الرسابيات  $D_{50}$  الى معدل قطر مادة  
 القعر) يسبب نقصان في معدل تغذية القناة بالرسابيات ،  
 فقد تم تغذية القناة بالرسابيات بمعدل (180غم/ثا) وذلك  
 للحصول على قعر رملي عند قطر رسابيات نسبي  
 ( $1.5 \times 10^{-2}$ ) ، بينما تم تغذية القناة بالرسابيات بمعدل  
 (480غم/ثا) وذلك للحصول على قعر رملي عند قطر  
 رسابيات نسبي ( $3 \times 10^{-3}$ ) . كذلك وجد الباحث ان  
 نقصان قطر الرسابيات النسبي يؤدي الى زيادة في مقدار  
 التغير في معامل دارسي ، فقد انخفض معامل دارسي  
 بمقدار (79%) عند قطر رسابيات نسبي ( $3 \times 10^{-3}$ ) ،

في حالة تعرض هذه الأنهار الى كميات كبيرة من  
 الرسابيات.

### البحوث والدراسات السابقة

ان البحوث والدراسات السابقة حول ظاهرة تأثير  
 الرسابيات على خشونة القنوات الحصوية القعر او ذات  
 الخشونة العالية قليلة جدا ، ولتصرت في شذوية على  
 الباحثين مايهونز والشوخ علي [1] حيث قام الباحثان  
 باجراء بحث مختبري حول تلك الظاهرة ، لجريت عدد  
 تجارب باستخدام مواد قعر يقطر يساوي (0.025 م )  
 في قناة مختبرية مستطيلة المقطع بعرض (0.25 م)  
 وعمق (0.4 م) وتصريف ومول ثابتين . تم اختيار  
 التصريف بحيث يكون رقم فرود  
 (Froude Number) اقل من الواحد أي حالة الجريان  
 تحت الحرج (Subcritical Flow) حيث من المتوقع  
 حدوث تغير في حالة الجريان تحت الحرج الى حالة  
 الجريان النعرج (Supercritical Flow) بعد تحول  
 القعر الى قعر رملي. لاحظ الباحثان انه عند تغذية القناة  
 بالرسابيات فانها تعمل على جعل الفراغات الموجودة بين  
 حبيبات مادة القعر معا يؤدي الى تحويل القعر الحصوي  
 الى قعر رملي ، ونتيجة لذلك يتغير معامل خشونة القعر  
 بشكل كبير ، حيث لاحظ الباحثان تناقص عمق الجريان  
 كلما زاد عمق الرسابيات في القعر . وباستخدام معامل  
 مانك وبافتراض ان التصريف وميل خط الطاقة قبل  
 وبعد تحويل القعر الحصوي الى قعر رملي يبقى ثابتا ،  
 وبفرض ان نصف القطر الهيدروليكي يساوي عمق  
 الجريان . فتوصل الباحثان الى العلاقة الآتية لحساب  
 معامل مانك.

$$ns = ng (ds/dg)^{5/3} \dots\dots\dots 1$$

حيث ان:

$ns$  - معامل مانك للقعر الرملي ،  $ng$  - معامل  
 مانك للقعر الحصوي ،  $ds$  - عمق الجريان بعد تحويل  
 القعر الى قعر رملي ،  $dg$  - عمق الجريان للقعر  
 الحصوي.

الباحثان الشيخ علي وبكر [2] قاما باجراء بحست  
 مختبري حول ظاهرة تأثير الرسابيات على خشونة  
 القنوات ذات للخشونة العالية ، وقد اجريت عدة تجارب  
 باستخدام مادة قعر يقطر (0.08-0.09 م) في قناة  
 مختبرية مستطيلة المقطع بعرض 0.25 م وطول 10م

$$\sigma = \log \left( \frac{D_{25}}{D_{50}} \right) \dots\dots\dots 4$$

حيث أن :

$\sigma$  = الانحراف المعياري .

$D_{25}$  = قطر فتحة المنخل الذي يمر من خلاله 84% من وزن النموذج الأصلي .  
 $D_{50}$  = قطر فتحة المنخل الذي يمر مسن خلاله 50% من وزن النموذج الأصلي .

#### خطوات إجراء التجارب

يتم فرش القناة بأحد أنواع الحصى المستخدم في البحث وبعد تثبيت مول للقناة يتم فتح الماء بتصريف قليل حتى يتغلي الحصى المكون للقعر بالماء ، بحيث يند هذا التصريف على انه اعلى تصريف ثانوي (Max. Sub Flow) لتلك النوع من الحصى . بعد ذلك يتم فتح الماء بالتصريف المطلوب الى القناة وبعد الحصول على الجريان المنتظم (Uniform flow) بواسطة تحريك الهواة للولعة عند نهاية القناة يتم عندها قراءة عمق للجريان في القناة ، بعد ذلك يتم تغذية القناة بالرمل (الرسابيات ) عن طريق فتح قفل السيطرة في قعر الرمل على الكمية المطلوبة بـ (غم / ثانية) . يتم خلال ذلك ملاحظة للجريان في القناة وصليته نقل الرسابيات والتوزيع في القناة وبعد الوصول الى حالة التوازن وذلك من خلال ملاحظة استقرار عمق الرسابيات على طول القناة ، وهذا يعني ان كمية الرمل التي تعذي القناة تساوي كمية الرمل الخارجة من القناة ، في هذه الاثناء يتم قراءة عمق الجريان للحديد مع عمق الرسابيات وايقاف التجربة ويتم في الوقت نفسه تسجيل الوقت لمعرفة زمن التجربة . وعلى هذه الخطوة تطيف القناة من الرسابيات بصورة جيدة واعدادها للتجربة اللاحقة . يتم بعدها اجراء التجربة الثانية بنفس الخطوات السابقة ولكن بزيادة معدل تغذية القناة بالرسابيات ، حيث انه يتم اجراء للتجربة الاولى بمعدل تغذية مقداره (15 غم / ثلثة) ثم بزيادة متقطعة مقدارها (15 غم / ثانية) بين تجربة والتجربة التي تليها ، فلي ان تصل الى معدل التغذية الذي يغير حالة القعر من قعر حصوي الى قعر رملي .

ان أي تغير غير طبيعي في عمق الجريان والرسابيات على طول القناة يعني ان عملية تغذية القناة

بينما انخفض معامل دارسي بمقدار (62%) عند قطر رسابيات لسبي ( $1.5 \cdot 10^{-3}$ ) .

#### اهداف البحث

- 1- دراسة تأثير المول والتصريف وقطر مادة القعر وقطر حبيبات الرسابيات على مقاومة الجريان في القنوات المحصورة للقعر عند تعرضها الى تكثير الرسابيات .
- 2- استنباط معادلة لتقدير التصريف الحقيقي في القنوات محصورة الحاملة للرسابيات .

#### العمل المختبري

##### القناة المختبرية

ان القناة المستخدمة في البحث ذات مقطع مستطول وجدران من الزجاج وقعر من الالمنيوم ، بطول (10م) وعرض (0.3 م) وعمق (0.45 م) . تم استخدام سد غاطس بعرض (0.3 م) وارتفاع (0.35 م) في بداية القناة لغرض قياس التصريف . وللحصول على جريان هادي تم تثبيت ثلاث صنفج معدنية متباعدة بعد السد الغاطس وعلى بعد 1م من السد الغاطس . ويتم تغذية لقناة بالرسابيات بواسطة خزان معدني يقطر (0.3 م) وارتفاع (0.3 م) متصل بقمع معدني ارتفاعه (0.2 م) يحتوي على قفل سيطرة تمت معايرته لغرض السيطرة على كمية الرمل الخارجة منه مع الزمن .

##### مواصفات القعر المستخدم في البحث

تم استخدام ثلاثة أنواع من مادة القعر المحصورة ذات للتدرج المنتظم (I ، II ، III) بالمطابق لتسلسل بين (0.04-0.05)م و(0.03-0.04)م و(0.02-0.03)م على التوالي .

##### مواصفات الرمل المستخدم في البحث

لستخدم ثلاث أنواع من الرمل لتغذية القناة بالرسابيات ، واجرئت عملية التحليل المنخلي للأنواع الثلاث وتم ايجاد قيم  $D_{25}$  ،  $D_{50}$  لكل نوع من الأنواع الثلاث ، ونتم حساب قيمة الانحراف المعياري (Standard Deviation) لكل نوع باستخدام العلاقة [4] ووجد بان الأنواع الثلاثة واقعة ضمن مدى الرسابيات للزهرية ( $0.2 \leq \sigma \leq 0.4$ ) .



## تحليل المعلومات المختبرية ومناقشة النتائج

### قعر نظري للقناة

من المسائل المهمة في القنوات ذات القعر الحصري تحديد قعر للنظري للقناة أي المستوى الحصري بعرض اساسا لقياس عمق الجريان ، وقد اقترح بساحتون عديون مستويات مختلفة ، قسم منهم اعتبروا جزء من ارتفاع سمك مادة القعر ضمن عمق الجريان . ففي هذا البحث استخدمت طريقة [6] الذي يفترض أن القعر النظري للقناة عند مستوى أقصى تصريف ثانوي وللموضحة في الشكل (a1) وان التصريف يتناسب نتيجة تذبذب للقناة بالرسابيات ويصبح صفراً عندما يتحول القعر الى قعر رملي . ولا يعكس الاختيار أي مستوى للقعر تحت هذا المستوى لأنه سوف يطمر بالرسابيات بعد تحويل القعر الى قعر رملي .

### التصريف الثانوي

تم تحديد أقصى تصريف ثانوي لكل نوع من أنواع القعر المستخدم في البحث وكما موضح في الجدول (2) ونتيجة لتذبذب القنساء بالرسابيات يتناسب مقدار التصريف الثانوي حتى يصل الى الصفر بعد ان تعلى الفراغات المحصورة بين حبيبات مادة القعر بالرسابيات كما (الشكل b1) . ومن القياسات المختبرية تبين ان أقصى تصريف ثانوي في البحث (5.8%) من مقدار التصريف الكلي ولكون هذا المقدار صغيراً فقد تم افتراض علاقة خطية بين التصريف الثانوي وعمق الرسابيات وكما مبين في الشكل (2) . يتم حساب مقدار التصريف الثانوي لاعساق مختلفة من الرسابيات باستخدام للعلاقة الآتية .

$$Q_{\text{subflow}} = Q_{(\text{subflow})\text{max}} - Qr \quad \dots\dots 5$$

حيث ان  $Qr$  مقدار التصريف الثانوي العكسي لعمق الرسابيات (Ds) .  
يتم حساب مقدار  $Qr$  من العلاقة الخطية التي تربط عمق الرسابيات (Ds) مع التصريف الثانوي .

والرسابيات غير منتظمة مع الزمن في هذه الحالة يجب إيقاف التجربة واعادتها مرة اخرى .

وقد اجريت قمع وتسمين تجربة [5] شملت كلفة للمتغيرات التي وردت في اهداف البحث ، حيث تم دراسة تأثير تغيير التصريف وذلك باستخدام اربعة تصاريح هسي (0.012 ، 0.0141 ، 0.0161 ، 0.018 م<sup>3</sup> / ثانية) . وقد تم اختيار التصاريح الأربعة على اساس ان مقدار رقم فرود يكون أقل من الواحد ، حيث انه من خلال ملاحظة الدراسات السابقة تبين بأنه عند تذبذب القنساء بالرسابيات فان عمق للجريان سوف ينخفض نتيجة الفحصان في مقاومة للجريان ، لذلك فانه من المتوقع حدوث تغيير في حالة الجريان من حالة الجريان تحت الحرج الى حالة الجريان فوق الحرج . وقد اجريت التجارب على هذه التصاريح باستخدام مادة قعر نوع I بقطر (0.04-0.05) متر ورسابيات نوع I بمعدل قطر 0.36 ملم وربعة ميول هي (0.0075 ، 0.01 ، 0.0125 ، 0.015) على التوالي .

ولدراسة تأثير التمين تم استخدام اربعة ميول هسي (0.0075 ، 0.01 ، 0.0125 ، 0.015) على التوالي . وقد اجريت التجارب على هذه الميول باستخدام رسابيات نوع I بمعدل قطر 0.36 ملم ومادة قعر نوع (I, II, III) وربعة تصاريح هسي (0.012 ، 0.0141 ، 0.016 ، 0.018 م<sup>3</sup> / ثانية) .  
ولدراسة تأثير اختلاف معدل قطر الرسابيات (D50) تم استخدام ثلاث أنواع من الرسابيات تم تصنيفها في الجدول (1) ، و اجريت التجارب على هذه الأنواع من الرسابيات باستخدام ميل ثابت مقداره (0.0125) وتصريف (0.018 م<sup>3</sup> / ثانية) ومادة قعر نوع I .  
ولدراسة تأثير نوع مادة القعر تم استخدام ثلاثة أنواع من مادة القعر الحصوية ذات التدرج المنتظم نوع (I, II, III) . وقد اجريت التجارب على الأنواع الثلاث من مادة القعر باستخدام تصريف ثابت مقداره (0.018 م<sup>3</sup> / ثانية) وربعة ميول هي (0.0075 ، 0.01 ، 0.0125 ، 0.015) على التوالي ورسابيات نوع I .

**التصريف المقاس**

يعرف التصريف المقاس بأنه ذلك الجزء من التصريف الذي يجري فوق شتعر لتظري والذي يحسب باستخدام العلاقة الآتية:

$$Q_{tm} = Q - Q_{subflow} \dots\dots\dots 6$$

حيث أن :

$Q$  - التصريف الكلي الداخل للقناة ،  $Q_{tm}$  - التصريف المقاس .

**لمناقشة**

من ملاحظة الجدول (3) الذي يوضح القيم المقامة والمحسوبة من التجارب المختبرية التي تم إجرائها تم حساب للتغير في نسبة معامل مانك  $(nv/g)$  وتحسب بقسمة معامل مانك بعد تغذية القناة بالرسوبات وفوصول إلى حالة التوازن إلى معامل مانك للتصريف الحسوي بدون رسابت .

حيث لوحظ من خلال للجدول (3) بأن الميول التي تزيد عن (0.01) تحتاج إلى تغذية القناة بالرسابت بمعدل أعلى من معدل التصفية للميول التي تقل عن (0.01) ، فعلى سبيل المثال تم تغذية القناة بمعدل (75 غم /ثانية) للميل (0.015) نتيجة السرعة العالية ورغم فروع العالي لكي يتحول القعر من قعر حصوي إلى قعر رملي . ويكون مقدار للتغير في نسبة معامل مانك  $(nv/g)$  أكبر في حالة للميول التي تزيد عن (0.01) وبلغ أعلى تغير في نسبة معامل مانك (0.64) للميل (0.015) .

وقد لوحظ أيضاً بأن الميل للمعل يتطلب زيادة معدل تغذية القناة بالرسابت ولفترة زمنية أقل مقارنة بالميل الأقل انحداراً للوصول إلى حالة التوازن وتحويل القعر من قعر حصوي إلى قعر رملي ، فعلى سبيل المثال تم تغذية للقناة بالرسابت بمعدل (75 غم / ثانية) بزمن مقداره 600 ثانية للميل 0.015 بينما تم تغذية القناة بالرسابت بمعدل (30 غم / ثانية) بزمن مقداره 1160 ثانية للميل 0.0075 .

ومن ملاحظة البيانات المخبرية نجد ان معدل تغذية القناة بالرسابت ثابت يزداد بمعدل (15 غم / ثانية) بين تجربة والتجربة التي تليها لتلك قبل تفسير التصريف يؤدي إلى تغير تركيز الرسابت (Sediment Concentration) للجريان في القناة ، ومن ملاحظة النتائج في الجدول (3) يبين ان زيادة

تركيز رسابت تؤدي إلى زيادة في مقدار التغير في نسبة معامل مانك ونقصان في الزمن اللازم للوصول إلى حالة التوازن .

كما لوحظ ان زيادة معدل قطر مادة القعر يتطلب زيادة في معدل تغذية القناة بالرسابت وبالتالي زيادة مقدار التغير في نسبة معامل مانك ، بينما نقصان معدل قطر مادة القعر يتطلب نقصان في معدل تغذية القناة بالرسابت وبسبب نقصان في مقدار للتغير في نسبة معامل مانك نتيجة تحويل القعر من قعر حصوي إلى قعر رملي . كذلك نجد ان زيادة قطر مادة القعر يؤدي إلى زيادة الزمن اللازم للوصول إلى حالة التوازن عند مقدار معدل تغذية للقناة بالرسابت نفسه ، بينما يؤدي نقصان قطر مادة القعر إلى نقصان في الزمن اللازم للوصول إلى حالة التوازن . فعلى سبيل المثال نجد ان الزمن اللازم للوصول إلى حالة التوازن هو (760 ، 690 ، 580) ثانية لمادة قعر نوع (I ، II ، III) على التوالي ويُفسر هذا كما لال قطر حبيبية مادة القعر أدى إلى نقصان في حجم الفراغات المحصورة بين حبيبات مادة القعر وبالتالي حجز الرسابت بقوة أكبر بينهما والوصول إلى حالة التوازن بفترة زمنية أقل مقارنة بمادة القعر ذات القطر الأكبر . بينما لوحظ انه كلما زاد معدل قطر الرمل المستخدم  $D_{50}$  أو مقدار الانحراف المعياري لمحتوى التحليل المتخلسي للرمل المستخدم أدى إلى نقصان في معدل تغذية القناة بالرسابت ونقصان في مقدار التغير في معامل مانك ، فعلى سبيل المثال نجد انه تم تغذية للقناة بالرسابت بمعدل (60 غم / ثانية) لرسابت نوع (I) بمعدل قطر (0.366 ملم) وانحراف معياري 0.243 ، وبلغ للتغير في نسبة معامل مانك 0.661 ، بينما تم تغذية للقناة بالرسابت بمعدل (60 غم / ثانية) لرسابت نوع (II) بمعدل قطر (0.4 ملم) وانحراف معياري 0.267 وبلغ للتغير في نسبة معامل مانك 0.678 ، بينما تم تغذية للقناة بالرسابت بمعدل (45 غم / ثانية) لرسابت نوع (III) بمعدل قطر (0.67 ملم) وانحراف معياري 0.320 . وبلغ التغير في نسبة معامل مانك 0.731 . كما نجد انه عند نفس المقدار لمعدل تغذية القناة بالرسابت زيادة معدل قطر الرمل المستخدم  $D_{50}$  يؤدي إلى نقصان في الزمن اللازم للوصول إلى حالة التوازن ، فعلى سبيل المثال نجد انه عند تغذية للقناة بالرسابت بمعدل (15 غم / ثانية) فإن الزمن اللازم للوصول إلى حالة

$$\frac{Q_{sc}}{Q_m} = \frac{ng}{n} \dots\dots\dots 9$$

ويمكن للحصول على كفاءة فيس (n/ng) وكفاءة تجارب البحث من الجدول (3) ولذلك يمكن صياغة المعادلة (9) بالشكل التالي :

$$\frac{Q_{sc}}{Q_m} = \frac{1}{n/ng}$$

على مبدئ المثال ومن ملاحظة الجدول (3) نجد انه عند تغذية القناة بالرسابيات بمعدل (15 عم /ثانية) يزمن 860 كلية للوصول الى حالة التوازن تغير معامل مانتك من 0.0305 للقعر الحصى بعمق جريان (0.08 م) الى 0.0274 للقعر الحصى الحاروي على ارسابيات بعمق جريان (0.076 م) وهذا يعني ان نسبة التغير بمعامل مانتك n/ng حسي (0.896) ، وعند مرور تصريف فوق القعر الحصى الحاروي على ارسابيات بعمق جريان يساوي (0.08 م) فان حساب المقدار الحقيقي لتلك التصريف يتم باستخدام المعادلة (9) حيث نجد ان نسبة التصريف الحقيقي الى التصريف المقاس تساوي (1.116) ، فالأمر كان متطرف التصريف المقاس يساوي (0.0173 م<sup>3</sup> /ثانية) فان التصريف الحقيقي يساوي (0.0193 م<sup>3</sup> /ثانية).

المعادلات الوضعية

ظهرت نتائج هذا البحث ان مقدار التصريف الذي يتم الحصول عليه باستخدام منحنى المنسوب-التصريف يكون خاطئاً بسبب اهمال تأثير الكميات الكبيرة من الرسابيات التي تتجرف الى القنوات خلال فترة الفيضان والتي تؤدي الى تغير معامل خشونة القعر للقنوات ذات الخشونة المثالية ، وهذا يعني ان تصريف الحقيقي المار في القناة ضمن نفس مقطع الجريان يكون اعلى من التصريف المنسوب من علاقة المنسوب-التصريف

ومن تحليل البيانات المخبرية وجد ان مقدار التغير في نسبة معامل مانتك n/ng يعتمد على المتغيرات الآتية:

$$\frac{n}{ng} = f(Q_s, Q, D_{50}, D_0, S) \dots\dots\dots 10$$

التوازن هو (900 ، 860 ، 800 ) كلية لرسابيات نوع (I ، II ، III) على التوالي ، ويفسر هذا انه كلما زاد معدل قطر الرسابيات D<sub>50</sub> الذي الى زيادة في مقاومة حبيبة الرمل لعملية النحر (Scour) وبالتالي استقرارية لكير لرسابيات بين الفراغات المحصورة بين حبيبات مادة القعر وهذا يعني نقصان في معدل تغذية القناة بالرسابيات وفي الزمن اللازم للوصول الى حالة التوازن مقارنة بالرسابيات ذات معدل القطر الاكبر.

التصريف الزمنى لمعدل مانتك مع معدل تغذية القناة بالرسابيات

والتمية بين التصريف الحقيقي الى التصريف المقاس، من ملاحظة البيانات في الجدول (3) نجد ان زيادة معدل تغذية القناة بالرسابيات مع الزمن يسودي الى تناقص معامل مانتك والذي يؤدي الى انخفاض عمق الجريان ، ولذلك فان التصريف الذي يحصل عليه من العلاقة بين التصريف والمنسوب يكون خاطئاً لسبب الجريان نفسه ؛ يمكن حساب التصريف والذي يعادل للتصريف المقاس لعمق جريان مقداره (d) وقيل تغذية القناة بالرسابيات باستخدام المعادلة الآتية:

$$Q_m = \frac{1}{ng} R_0^{2/3} S^{1/2} Ac \dots\dots\dots 7$$

حيث ان:

- ng = معامل مانتك للقعر الحصى بدون رسابيات.
- R<sub>0</sub> = نصف القطر الهيدروليكي المصحح.
- S = ميل القناة والذي يساوي ميل سطح الماء.
- Ac = مساحة مقطع الجريان لعمق جريان مقداره (d).

ولحساب التصريف بعد عملية تغذية القناة بالرسابيات ولعمق الجريان لسابق (d) نستخدم المعادلة الآتية:

$$Q_{sc} = \frac{1}{n} R_0^{2/3} S^{1/2} Ac \dots\dots\dots 8$$

حيث ان n = معامل مانتك للقعر الحاروي على الرسابيات.

ويربط للمعادلتين 7 و 8 يمكن الحصول على النسبة بين التصريف الحقيقي الى التصريف المقاس (Q<sub>sc</sub>/Q<sub>m</sub>) كما يأتي:



وبإجراء عملية التحليل البعدي على هذه المتغيرات وجد بان التغير في نسبة معامل مانتك يعتمد على الحدود الآتية:

$$\frac{n}{ng} = f\left(\frac{Qs}{Q}, \frac{D_{50}}{D_b}, S\right) \dots\dots\dots 11$$

حيث ان :

$$Qs/Q = \text{تركيز الرسابيات (C)}$$

$$D_{50}/D_b = \text{قطر الرسابيات النسبي}$$

$$S = \text{ميل القعر}$$

وباستخدام برنامج احصائي تم التوصل الى المعادلة الوضعية الآتية باستخدام التحليل المرجوعي وذلك لحساب معامل مانتك بعد تعرض القعر الى الرسابيات.

$$\frac{n}{ng} = 1 - 2.786 * 10^{-6} \left[ \frac{C}{S} \left\{ \frac{D_{50}}{D_b} \right\}^{0.33} \right] \dots\dots 12$$

حيث ان :

$$C = \text{تركيز للرسابيات في الجريان بـ (ppm)}$$

$$Qs = \text{معدل تغذية القناة بالرسابيات بـ (ملم/ ثانية)}$$

$$Q = \text{التصريف بـ (م<sup>3</sup>/كائبة)}$$

$$D_{50} = \text{قطر فتحة المنخل بـ (ملم) الذي يمر من خلاله 50% من وزن النموذج الاصيل}$$

$$D_b = \text{معدل قطر مادة القعر بـ (سم)}$$

وكانت هذه الصيغة للمعادلة افضل الصيغ التي تم التوصل اليها بالاعتماد على لنتائج المختبرية حيث ان قيمة  $r^2$  للمعادلة تساوي (0.91) ومعامل الارتباط (Correlation Coefficient) يساوي (-0.954) ، وقد تم استخدام المعادلة (12) في حساب مقدار (n/ng) وكفاءة تجارب البحث ، فقد لوحظ وجود تطابق جيد بين القيم المقاسة (ويقصد بها القيم التي تم الحصول عليها من النتائج للمختبرية الموضحة في الجدول (3) والقيم المحسوبة من المعادلة (12) لكافة تجارب البحث وكذلك مع نتائج الدراسات السابقة وتبين ان نسبة الخطأ لم تتجاوز (±7.3%).

#### الاستنتاجات

1- الميوول المشددة تتطلب زيادة في معدل تغذية القناة بالرسابيات وزيادة في مقدار التغير في نسبة معامل مانتك ونقصان في الزمن اللازم للوصول الى حالة

التوازن ، بينما الميوول للمبسطة تعني نقصان في معدل تغذية القناة بالرسابيات ونقصان في الزمن اللازم للوصول الى حالة التوازن وبلغ اعلى تنحسر في نسبة معامل مانتك (0.64).

2- ان لزيادة في التصريف تتطلب زيادة في معدل تغذية القناة بالرسابيات وزيادة في الزمن اللازم للوصول الى حالة التوازن وتحويل القعر من قعر حصوي الى قعر رملي ، بينما كلما قل التصريف ادى الى نقصان في معدل تغذية القناة بالرسابيات ونقصان في الزمن اللازم للوصول الى حالة التوازن.

3- للزيادة في معدل قطر مادة القعر تتطلب زيادة في معدل تغذية القناة بالرسابيات وزيادة في مقدار التغير بمعامل مانتك وزيادة في الزمن اللازم للوصول الى حالة التوازن.

4- ان لزيادة في قطر الرسابيات النسبي بسبب نقصانها في معدل تغذية القناة بالرسابيات وفي مقدار التصريف بمعامل مانتك ونقصان في الزمن اللازم للوصول الى حالة التوازن نتيجة تحويل القعر من قعر حصوي الى قعر رملي .

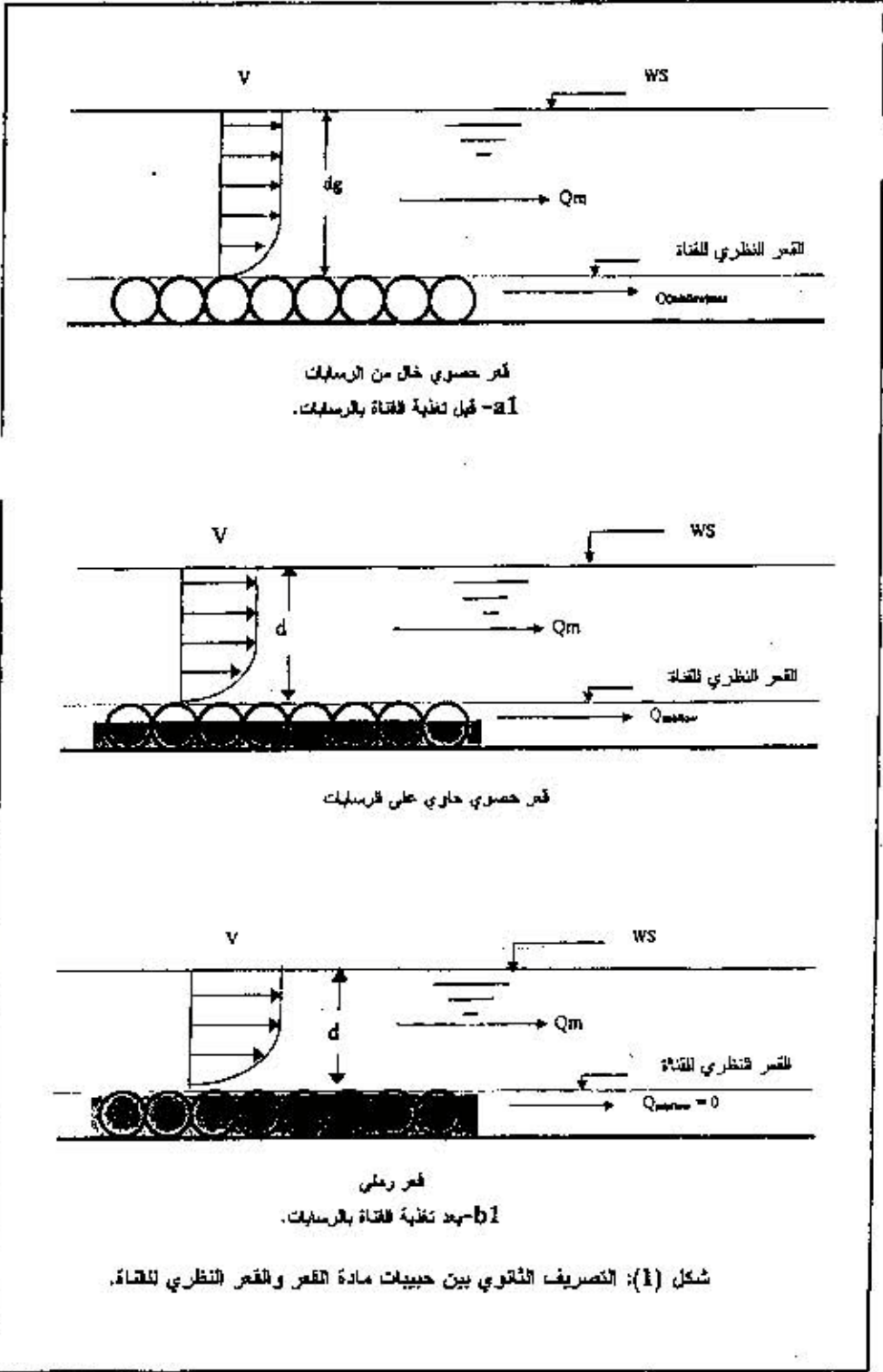
5- ان للنقصان في مقدار معامل مانتك بسودي الى انخفاض في عمق الجريان وبالتالي يؤدي الى زيادة سرعة الجريان التي تسبب زيادة في رقم فرود ، ولذلك قد يتحول الجريان من حالة للجريان تحسنت الجرح الى حالة الجريان فوق الجرح ، هذه للزيادة في قيمة رقم فرود وسرعة الجريان التي اذا لم تؤخذ بنظر الاعتبار في التصميم تجعل منشآت الحماية في وضع غير آمن ، فضلا عن عدم الفعالية في حساب عمق النحر (Scour Depth) لمنشآت الري.

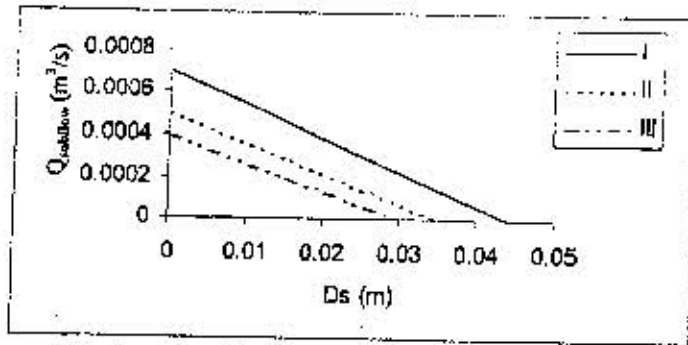
6- يمكن تقدير مقدار التغير بمعامل مانتك عندما تتعرض القناة الى موجة فيضان وبتركيز عال من الرسابيات فقد تم ايجاد معادلة وضعية لهذا الغرض ووجدت نتائجها مطابقة للقياسات للمختبرية حيث لم تتجاوز نسبة الخطأ (±7.3%).

## المصادر

- 1- Simons, D.B., Al-Shaika-Ali, K.S., and Li, R. M., "Flow Resistance in Cobble and Boulder River Beds", Journal of the Hydraulic Division, ASCE, vol. 105, No. HY5, Proc. Paper 14576 May, 1979, pp. 477-488.
- 2- AL-Shaikh Ali, K. S, and Baker. "Effect of Sediment on Resistance to Flow in Large Scale Roughness Channels", presented at March 10-13-1979, First National Conference on Water Resources Engineering, held at Baghdad, Iraq.
- 3- Haibat, A., "Effect of Sediment inflow on the Resistance to Flow on Coarse Gravel to Large Cobble Beds." Thesis presented to the University of Mosul, Iraq, in 1980, in partial fulfillment of the requirements for the degree of Master of Science.
- 4- Simons, D.B., and F. Sentruk. 1977. Sediment Transport Technology. Water Resources Publication, Fort Collins, Colorado, USA.
- 5- Anas, M.M, "Effect of Sediment Inflow on the Roughness in Gravel Bed Channels" Thesis presented to the University of Mosul, Iraq, in 1999, in partial fulfillment of the requirements for the degree of Master of Science.
- 6- Schlichting, H. 1959. Boundary Layer Theory, McGraw-Hill Book Co., New York. US
- 7- Chow, V.T., Open-Channels Hydraulics. McGraw. Hill Book Company. Inc., New York, N.Y., 1959.
- 8- Rouse, H.1961. Fluid Mechanics for Hydraulic Engineers, Dover Publication Inc., New York. P. 249.







الشكل (2): العلاقة الخطية بين عمق الرسوبات والتصريف الثانوي لأنواع القعر

الجدول (1): مواصفات الرمل (الرسوبات) المستخدم في البحث.

الاتجاهات المعياري	$D_{90}$ (mm)	$D_{50}$ (mm)	نوع الرسوبات
0.243	0.63	0.36	I
0.267	0.74	0.40	II
0.320	1.40	0.67	III

جدول (2): التصريف الثانوي لأنواع القعر المستخدم في البحث.

نوع القعر	اتقطر (متر)	منسوب القعر بعد الغرش (متر)	القصى تصريف ثانوي ( $m^3/ثانية$ )
I	0.05-0.04	0.044	0.0007
II	0.04-0.03	0.035	0.0005
III	0.03-0.02	0.03	0.0004

الجدول (3): نتائج القياسات المخبرية.

Exp. No.	S m/m	$Q_m$ m <sup>3</sup> /s	$Q_s$ gm/s	Bed Type	Sand Type	C ppm	$D_s$ m	d m	$T_e$ sec	Rb m	n	Fr	$n/n_g$	$Q_{act}/Q_m$
1	0.0150	0.017	0	I	I	0	0.000	0.080	0	0.076	0.0305	0.634	1	1.000
2	0.0150	0.018	15	I	I	338	0.022	0.076	860	0.072	0.0274	0.922	0.9	1.118
3	0.0150	0.018	30	I	I	1667	0.031	0.073	760	0.069	0.0253	0.99	0.83	1.208
4	0.0150	0.018	45	I	I	2500	0.037	0.070	700	0.066	0.0234	1.063	0.76	1.309
5	0.0150	0.018	60	I	I	3333	0.040	0.068	680	0.063	0.0221	1.116	0.72	1.381
6	0.0150	0.018	75	I	I	4167	0.044	0.064	600	0.059	0.0198	1.232	0.65	1.543
7	0.0125	0.017	0	I	I	0	0.000	0.084	0	0.080	0.0301	0.777	1	1.000
8	0.0125	0.018	15	I	I	338	0.023	0.079	900	0.074	0.0265	0.974	0.88	1.138
9	0.0125	0.018	30	I	I	1667	0.035	0.074	820	0.069	0.0233	0.979	0.77	1.292
10	0.0125	0.018	45	I	I	2500	0.039	0.071	760	0.066	0.2160	1.049	0.72	1.395
11	0.0125	0.018	60	I	I	3333	0.044	0.068	720	0.062	0.0199	1.129	0.66	1.513
12	0.0100	0.017	0	I	I	0	0.000	0.089	0	0.084	0.0296	0.714	1	1.000
13	0.0100	0.018	15	I	I	338	0.023	0.085	960	0.079	0.0267	0.785	0.9	1.109
14	0.0100	0.018	30	I	I	1667	0.034	0.080	860	0.074	0.0237	0.872	0.8	1.247
15	0.0100	0.018	45	I	I	2500	0.044	0.073	800	0.068	0.0199	1.019	0.87	1.484
16	0.0075	0.017	0	I	I	0	0.000	0.096	0	0.089	0.0289	0.641	1	1.000
17	0.0075	0.018	15	I	I	338	0.037	0.089	1480	0.081	0.0239	0.762	0.83	1.211

تملة الجدول (3)

Exp. No.	S mm	Qm m <sup>3</sup> /s	Qa gm/s	Bed Type	Sand Type	C ppm	Da m	d m	Ta sec	Rb m	n	Fr	n/ng	Qact /Qm
18	0.0075	0.018	30	I	I	1667	0.045	0.081	1160	0.073	0.0204	0.876	0.71	1.414
19	0.0150	0.015	0	I	I	0	0.000	0.074	0	0.071	0.0302	0.833	1	1.000
20	0.0150	0.016	15	I	I	932	0.025	0.070	800	0.068	0.0267	0.833	0.83	1.200
21	0.0150	0.018	30	I	I	1883	0.032	0.066	860	0.063	0.0240	1.022	0.8	1.253
22	0.0150	0.016	45	I	I	2795	0.038	0.068	560	0.059	0.0223	1.053	0.71	1.408
23	0.0150	0.018	60	I	I	3727	0.042	0.061	500	0.057	0.0206	1.122	0.68	1.468
24	0.0150	0.018	75	I	I	4658	0.046	0.059	420	0.055	0.0194	1.243	0.64	1.583
25	0.0125	0.015	0	I	I	0	0.000	0.077	0	0.073	0.0293	0.787	1	1.000
26	0.0125	0.018	15	I	I	932	0.028	0.072	850	0.068	0.0254	0.898	0.87	1.158
27	0.0125	0.018	30	I	I	1863	0.035	0.068	720	0.063	0.0227	0.992	0.78	1.290
28	0.0125	0.018	45	I	I	2795	0.040	0.064	630	0.059	0.0203	1.097	0.69	1.445
29	0.0125	0.018	60	I	I	3727	0.045	0.062	520	0.057	0.0191	1.159	0.66	1.536
30	0.0100	0.015	0	I	I	0	0.000	0.062	0	0.078	0.0290	0.718	1	1.000
31	0.0100	0.018	15	I	I	932	0.032	0.076	980	0.071	0.0245	0.837	0.85	1.163
32	0.0100	0.018	30	I	I	1863	0.040	0.070	720	0.064	0.0210	0.961	0.72	1.381
33	0.0100	0.015	45	I	I	2795	0.044	0.067	630	0.061	0.0194	1.035	0.67	1.499
34	0.0075	0.015	0	I	I	0	0.000	0.09	0	0.082	0.0281	0.649	1	1.000
35	0.0075	0.016	15	I	I	932	0.038	0.08	1400	0.073	0.0228	0.788	0.81	1.235
36	0.0075	0.018	30	I	I	1863	0.044	0.074	1120	0.067	0.0197	0.895	0.7	1.429
37	0.0150	0.013	0	I	I	0	0.000	0.087	0	0.084	0.0295	0.84	1	1.000
38	0.0150	0.014	15	I	I	1084	0.027	0.082	720	0.058	0.0249	0.979	0.85	1.182
39	0.0150	0.014	30	I	I	2128	0.033	0.059	660	0.056	0.0227	1.065	0.77	1.289
40	0.0150	0.014	45	I	I	3191	0.039	0.058	480	0.052	0.0208	1.151	0.7	1.431
41	0.0150	0.014	60	I	I	4255	0.044	0.054	430	0.050	0.0192	1.24	0.65	1.538
42	0.0125	0.013	0	I	I	0	0.000	0.071	0	0.068	0.0296	0.771	1	1.000
43	0.0125	0.014	15	I	I	1084	0.030	0.068	840	0.062	0.0251	0.898	0.85	1.179
44	0.0125	0.014	30	I	I	2128	0.035	0.061	780	0.057	0.0217	1.02	0.74	1.361
45	0.0125	0.014	45	I	I	3191	0.044	0.059	700	0.055	0.0202	1.047	0.68	1.471
46	0.0100	0.013	0	I	I	0	0.000	0.08	0	0.071	0.0288	0.713	1	1.000
47	0.0100	0.014	15	I	I	1084	0.034	0.07	1100	0.064	0.0233	0.868	0.81	1.236
48	0.0100	0.014	30	I	I	2128	0.044	0.06	860	0.058	0.0201	0.988	0.7	1.435
49	0.0075	0.013	0	I	I	0	0.000	0.08	0	0.075	0.0278	0.640	1	1.000
50	0.0075	0.014	15	I	I	1084	0.044	0.07	1750	0.066	0.0217	0.810	0.78	1.280
51	0.0150	0.011	0	I	I	0	0.000	0.08	0	0.058	0.0300	0.813	1	1.000
52	0.0150	0.012	15	I	I	1250	0.028	0.06	700	0.054	0.0257	0.937	0.86	1.167
53	0.0150	0.012	30	I	I	2500	0.034	0.05	600	0.049	0.0218	1.094	0.74	1.348
54	0.0150	0.012	45	I	I	3750	0.044	0.05	580	0.0470	0.0199	1.178	0.68	1.508
55	0.0125	0.011	0	I	I	0	0.000	0.08	0	0.081	0.0296	0.759	1	1.000
56	0.0125	0.012	15	I	I	1250	0.032	0.06	800	0.057	0.0253	0.876	0.83	1.199
57	0.0125	0.012	30	I	I	2500	0.038	0.06	740	0.052	0.0215	1.015	0.73	1.377
58	0.0125	0.012	45	I	I	3750	0.044	0.05	650	0.047	0.0190	1.151	0.640	1.563
59	0.0100	0.011	0	I	I	0	0.000	0.07	0	0.065	0.0292	0.694	1	1.000
60	0.0100	0.012	15	I	I	1250	0.036	0.06	1040	0.057	0.0228	0.868	0.78	1.276
61	0.0100	0.012	30	I	I	2500	0.044	0.06	720	0.053	0.0201	0.974	0.69	1.451
62	0.0075	0.011	0	I	I	0	0.000	0.07	0	0.07	0.0280	0.613	1	1.000
63	0.0075	0.011	15	I	I	1250	0.044	0.07	1550	0.06	0.0218	0.801	0.75	1.338
64	0.0125	0.017	0	I	I	0	0.000	0.08	0	0.08	0.0301	0.777	1	1.000



تكملة الجدول (3)

Exp. No.	S m/m	Gm m <sup>3</sup> /s	Qa gm/s	Bed Type	Sand Type	C ppm	Ds m	d m	Ta sec	Rb m	n	Fr	n/ng	Qact /Qm
65	0.0125	0.018	15	I	II	833	0.028	0.08	860	0.073	0.0258	0.896	0.88	1.170
66	0.0125	0.018	30	I	II	1667	0.038	0.07	760	0.088	0.0228	1.001	0.78	1.316
67	0.0125	0.018	45	I	II	2500	0.041	0.07	740	0.068	0.0216	1.051	0.72	1.389
68	0.0125	0.018	60	I	II	333	0.044	0.07	700	0.063	0.0204	1.103	0.68	1.475
69	0.0125	0.017	0	I	III	0	0.000	0.08	0	0.08	0.0301	0.777	1	5.000
70	0.0125	0.018	15	I	III	833	0.031	0.08	800	0.072	0.0253	0.917	0.84	1.190
71	0.0125	0.018	30	I	III	1667	0.042	0.07	740	0.068	0.0232	0.986	0.77	1.300
72	0.0125	0.018	45	I	III	2500	0.044	0.07	700	0.057	0.0220	1.031	0.73	1.368
73	0.0150	0.018	0	II	J	D	0.000	0.08	0	0.074	0.0289	0.878	1	1.000
74	0.0150	0.018	15	II	I	833	0.028	0.07	690	0.07	0.0258	0.974	0.89	1.121
75	0.0150	0.018	30	II	I	1667	0.031	0.07	540	0.066	0.0238	1.043	0.83	1.211
76	0.0150	0.018	45	II	I	2500	0.033	0.07	480	0.063	0.0221	1.119	0.76	1.309
77	0.0150	0.018	60	II	I	3333	0.035	0.06	420	0.059	0.0198	1.233	0.69	1.460
78	0.1250	0.018	0	II	I	0	0.000	0.08	0	0.077	0.0285	0.816	1	1.000
79	0.1250	0.018	15	II	I	833	0.028	0.08	840	0.072	0.0250	0.922	0.87	1.144
80	0.1250	0.018	30	II	I	1667	0.032	0.07	750	0.069	0.0232	0.985	0.81	1.232
81	0.1250	0.018	45	II	I	2500	0.035	0.07	590	0.062	0.0199	1.129	0.7	1.435
82	0.0100	0.018	0	II	I	0	0.000	0.09	0	0.083	0.0279	0.753	1	1.000
83	0.0100	0.018	15	I	I	833	0.030	0.08	960	0.078	0.0248	0.845	0.88	1.142
84	0.0100	0.018	30	II	I	1667	0.035	0.07	800	0.068	0.0204	0.988	0.75	1.328
85	0.0075	0.018	0	I	I	0	0.000	0.08	0	0.085	0.0264	0.694	1	1.000
86	0.0075	0.018	15	II	I	833	0.035	0.08	1290	0.074	0.0209	0.859	0.79	1.263
87	0.0150	0.176	0	III	I	0	0.000	0.08	0	0.072	0.0274	0.918	1	1.000
88	0.0150	0.018	15	III	I	833	0.021	0.07	630	0.067	0.0239	1.039	0.87	1.145
89	0.0150	0.018	30	III	I	1667	0.027	0.07	520	0.063	0.0221	1.118	0.81	1.242
90	0.0150	0.018	60	III	I	2800	0.030	0.06	480	0.059	0.0198	1.123	0.72	1.387
91	0.0125	0.018	0	III	I	0	0.000	0.08	0	0.075	0.0272	0.853	1	1.000
92	0.0125	0.018	15	III	I	833	0.024	0.07	780	0.068	0.0227	1.004	0.84	1.198
93	0.0125	0.018	30	III	I	1667	0.028	0.07	680	0.064	0.0210	1.077	0.77	1.295
94	0.0125	0.018	45	III	I	2500	0.030	0.07	580	0.062	0.0199	1.129	0.73	1.366
95	0.0100	0.018	0	III	I	0	0.000	0.09	0	0.079	0.0268	0.782	1	1.000
96	0.0100	0.179	15	III	I	833	0.028	0.08	860	0.072	0.0225	0.714	0.84	1.189
97	0.0100	0.018	30	III	I	1667	0.030	0.07	700	0.068	0.0189	1.019	0.76	1.342
98	0.0075	0.018	0	III	I	0	0.000	0.09	0	0.084	0.0258	0.71	1	1.000
99	0.0075	0.018	15	III	I	833	0.030	0.08	1200	0.074	0.0209	0.859	0.81	1.235